

FDTD Underwater Acoustic Propagation

Application to localization using interval analysis

Quentin Brateau

ENSTA Bretagne · Agence Innovation Défense

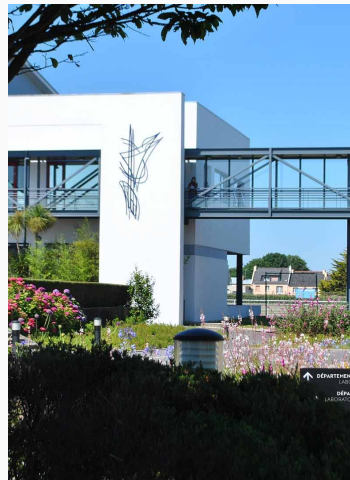


Research laboratory

- ENSTA Bretagne

Projects

- **DGA RAPID PROTEUS :**
Underwater acoustic propagation simulation using Finite Difference Time Domain (FDTD)
- **DGA ROBOTIX :**
Underwater acoustic source localization using interval analysis



1 Introduction

- Scope of the study
- Wave equation

2 Finite Difference Time Domain (FDTD)

- Numeric Scheme
- Viscoelastic modeling of materials
- Physically constrained acoustic sources model

3 Results

- Validation
- Pulsing sphere

Variables of interest

- Pressure
- Particle velocity

Scope of the simulation

- Rectilinear Grid support for fields
- Linear acoustic approximation
- Viscoelastic modeling of materials



Figure 1: Jean Le Rond d'Alembert

Wave equation

$$\left(\nabla^2 - \frac{1}{c^2} \frac{\partial^2}{\partial t^2} \right) \phi(\mathbf{r}, t) = f(\mathbf{r}, t) \quad (1)$$

- \mathbf{r} : position
- t : time
- ϕ : field
- c : celerity

Variables of interest

- Pressure $p(t, x)$
- Particle Velocity $u(t, x)$

Numeric scheme

- 2^{nd} order in time $\mathcal{O}(\Delta t^2)$ [1]
- 4^{th} order in space $\mathcal{O}(\Delta x^4)$ [1]

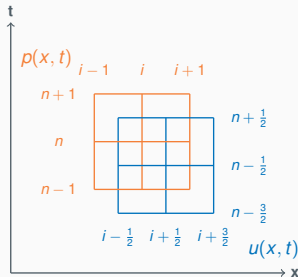


Figure 2: Staggered pressure and particle velocity fields

Variables of interest

- Pressure $p(t, x)$
- Particle Velocity $u(t, x)$

Numeric scheme

- 2nd order in time $\mathcal{O}(\Delta t^2)$ [1]
- 4th order in space $\mathcal{O}(\Delta x^4)$ [1]

Staggered scheme

$$\nabla p|_{i+\frac{1}{2}}^n = \frac{p|_{i+1}^n - p|_i^n}{\Delta x} \quad (2)$$

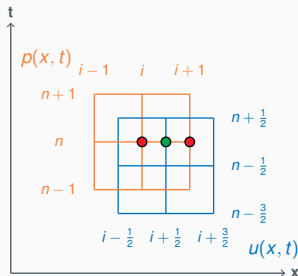


Figure 2: Staggered pressure and particle velocity fields

Variables of interest

- Pressure $p(t, x)$
- Particle Velocity $u(t, x)$

Numeric scheme

- 2nd order in time $\mathcal{O}(\Delta t^2)$ [1]
- 4th order in space $\mathcal{O}(\Delta x^4)$ [1]

Staggered scheme

$$\frac{\partial u}{\partial t} \Big|_{i+\frac{1}{2}}^n = \frac{u|_{i+\frac{1}{2}}^{n+\frac{1}{2}} - u|_{i+\frac{1}{2}}^{n-\frac{1}{2}}}{\Delta t} \quad (2)$$

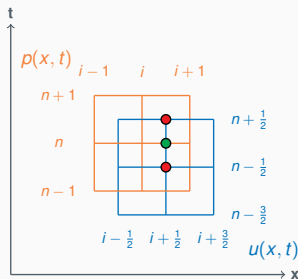


Figure 2: Staggered pressure and particle velocity fields

Variables of interest

- Pressure $p(t, x)$
- Particle Velocity $u(t, x)$

Numeric scheme

- 2nd order in time $\mathcal{O}(\Delta t^2)$ [1]
- 4th order in space $\mathcal{O}(\Delta x^4)$ [1]

Staggered scheme

$$\nabla p|_{i+\frac{1}{2}}^n = \rho \frac{\partial u}{\partial t}|_{i+\frac{1}{2}}^n \quad (2)$$

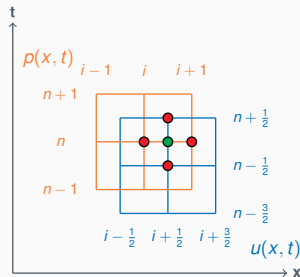


Figure 2: Staggered pressure and particle velocity fields



Figure 3: James Clerk Maxwell

Standard Linear Solid model

- Viscoelastic material modeling
- Springs
- Dashpots

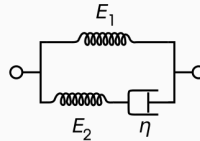


Figure 4: Standard Linear Solid model, Maxwell representation

Q modeling

$$Q^{-1}(\omega) \approx \sum_{l=1}^L \frac{\omega \tau_{\sigma l} / \tau}{1 + \omega^2 \tau_{\sigma l}^2} \quad (3)$$

- Q : Desired quality factor
- ω Pulsation
- L : Number of SLS
- $\tau_{\sigma l}$: Relaxation constraint
- τ : Computed constant for material

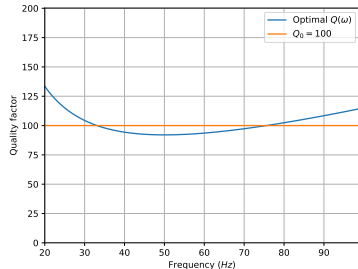
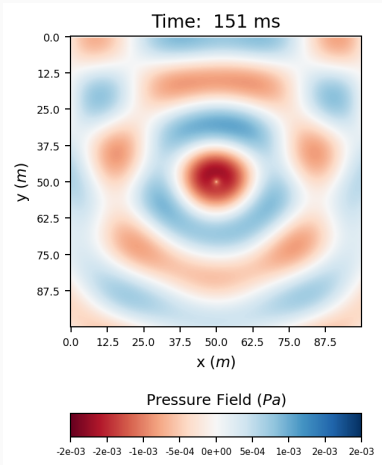


Figure 5: Optimal quality factor over a frequency range



Pulsing sphere

- (100, 100) *m* scene
- Emitter at (50, 50) *m*
- Reflection at the top

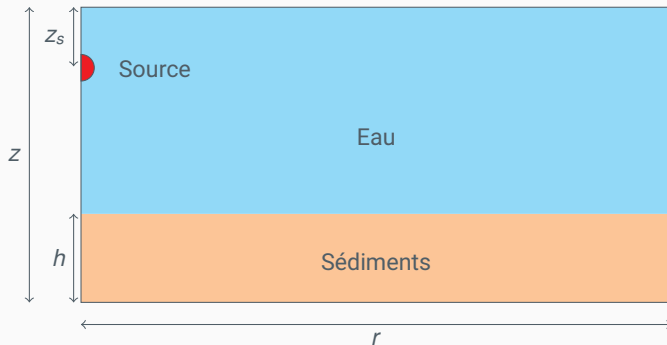
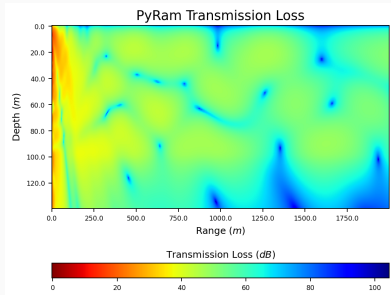
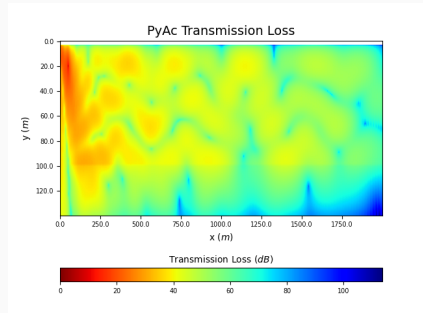


Figure 6: Scène utilisée dans la comparaison



(a) Modèle RAM



(b) Modèle Différences Finies

Figure 7: Comparaison des Transmission Loss simulées pour les deux modèles

Méthodes ensemblistes

- Basées sur les ensembles
- Renvoie l'ensemble des possibilités
- Calcul garanti

Caractéristiques

- Post-traitement
- Ensemble de solutions compatibles
- Domaine non-linéaires

Méthodes Probabilistes

- Basées sur les probabilités
- Renvoie une position possible
- Calcul probable

Caractéristiques

- Traitement temps réel
- Point avec covariance
- Domaine linéaire

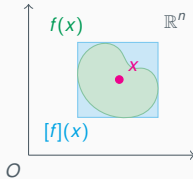


Figure 8: Méthodes ensemblistes

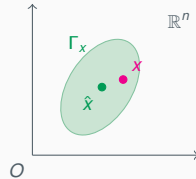


Figure 9: Méthodes probabilistes

Exemple

- Intervalles
- Zonotopes
- Polytopes

Exemple

- Filtre de Kalman
- Filtre de Bayes
- Méthodes de Monte-Carlo

Réciprocité

- Récepteurs \leftrightarrow Émetteurs
- Carte de niveau acoustique perçus par rapport à un récepteur
- Résoudre problème d'inversion

Réciprocité Acoustique

- Cadre de l'acoustique linéaire [2]
- Valable en avec modélisation visco-élastique des matériaux

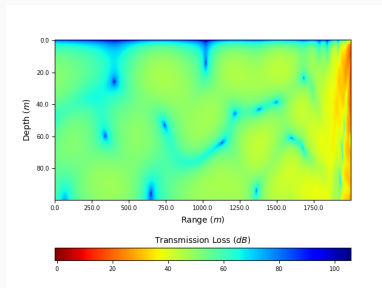
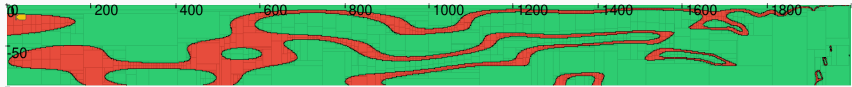


Figure 10: Carte de niveaux acoustiques pour un récepteur placé en (2000, 20) m



(a) Compatibilité avec Hydrophone placé en (2000, 20) m



(b) Compatibilité avec Hydrophone placé en (2000, 40) m



(c) Compatibilité avec Hydrophone placé en (2000, 60) m



(d) Position de la source compatibles avec les mesures de niveaux acoustiques

Figure 11: Localisation ensembliste de la source acoustique

Améliorations

- Modélisation du bruit
- Passage de la 2D à la 3D
- Passage du Python au C++
- Validation en milieu naturel

Localisation ensembliste

- Émetteur/Récepteur en mouvement
- Simulation à plusieurs fréquences
- Navigation dans données sonar
- SLAM acoustique



Figure 12: SeaBot - Thomas Le Mézo

- [1] J. O. Robertsson, J. O. Blanch, and W. W. Symes, "Viscoelastic finite-difference modeling," *Geophysics*, vol. 59, no. 9, pp. 1444–1456, 1994.
- [2] J. W. S. B. Rayleigh, *The theory of sound*, vol. 2. Macmillan, 1896.